

### 0.0.1 問題設定

計測対象として、拍動周期  $T$  の非圧縮性のニュートン流体による流れを考える．ここでは 3 次元を考え、MRI 領域  $\Omega_m \subseteq \mathbb{R}^3$  におけるボクセルの大きさを  $\Delta x_m \times \Delta y_m \times \Delta z_m$  とし、1 周期中の計測数を  $N_m$  回とする計測間隔  $\Delta t_m$ ．また、ボクセル  $i$ 、時刻  $t_j \in (0, T]$  における MRI 速度を  $\mathbf{v}_m^{ij}$  と定義する．これに対し、数値計算を適用する計算領域を  $\Omega \subseteq \mathbb{R}^3$  とし、座標  $\mathbf{x} \in \Omega$ 、時刻  $t \in (0, T]$  での数値速度を  $\mathbf{v}(\mathbf{x}, t) \in \mathbf{H}_{0, \Gamma_w}^1(\Omega)$  と定義する．データ同化の制御変数には、 $t = 0$  における数値計算の初期速度場  $\mathbf{v}_0$  と、入口境界  $\Gamma_I$  における境界速度  $\mathbf{V}(t)$  を用いる．

目的関数を

$$\mathcal{J}(\mathbf{v}, \mathbf{v}^0, \mathbf{V}) = \mathcal{D}(\mathbf{v}) + \mathcal{R}(\mathbf{v}^0, \mathbf{V}) \quad (1)$$

と定義する．右辺第 1 項は、計測速度と数値速度の時空間情報に対する誤差の和

$$\mathcal{D}(\mathbf{v}) = \frac{\alpha}{2} \sum_{j=1}^{N_m} \sum_{i=1}^{M_m} \left\| \mathcal{T}_{ij}^{\text{ave}} \mathbf{v}(\mathbf{x}, t) - \mathbf{v}_m^{ij} \right\|^2 \Delta x_m \Delta y_m \Delta z_m \Delta t_m \quad (2)$$

であり、 $\alpha$  は誤差関数のハイパーパラメータである． $\mathcal{T}_{ij}^{\text{ave}}$  は Töger ら [1] を参考にし、時空間方向の平滑化を考慮した計測オペレータ

$$\mathcal{T}_{ij}^{\text{ave}} : \mathbf{v}(\mathbf{x}, t) \mapsto \left( \int_t w_t^j dt \right)^{-1} \left( \int_{\Omega} w_{\Omega}^i d\Omega \right)^{-1} \int_T \int_{\Omega} \mathbf{v}(\mathbf{x}, t) w_{\Omega}^i w_t^j d\Omega dt \quad (3)$$

とする．ここで、 $w_t^j$  と  $w_{\Omega}^i$  は時間方向と空間方向の重み関数であり、Fig. 3.1 にそれぞれの関数を示す．また、これらの式は

$$w_{\Omega}^i = \text{sinc} \left( \frac{x - x_i}{\Delta x_m} \right) \text{sinc} \left( \frac{y - y_i}{\Delta y_m} \right) \text{sinc} \left( \frac{z - z_i}{\Delta z_m} \right) \quad (4)$$

$$\times \mathcal{X}(x; x_i, 4\Delta x_m, \sigma_{xyz}) \mathcal{X}(y; y_i, 4\Delta y_m, \sigma_{xyz}) \mathcal{X}(z; z_i, 4\Delta z_m, \sigma_{xyz})$$

$$w_t^j = \mathcal{X}(t; t_j, \Delta t_m, \sigma_t) \quad (5)$$

と表される．ここで、 $\mathcal{X}$  は平滑化関数として

$$\mathcal{X}(a; a_0, w, \sigma) = \frac{1}{1 + e^{-(a - (a_0 - w/2))/\sigma)}} - \frac{1}{1 + e^{-(a - (a_0 + w/2))/\sigma)}} \quad (6)$$

と定義される． $a$  適当な変数、 $a_0$  は対称軸の値、 $w$  と  $\sigma$  はパラメータである．目的関数における右辺第 2 項は正則化項を表し、各制御変数に対するノルムとして

$$\mathcal{R}(\mathbf{v}^0, \mathbf{V}) = \frac{\beta}{2} \int_T \int_{\Gamma_I} \left[ \|\partial_t \mathbf{V}\|^2 + \|\partial_s \mathbf{V}\|^2 \right] d\Gamma dt + \frac{\gamma}{2} \int_{\Omega} \|\partial_s \mathbf{v}^0\|^2 d\Omega \quad (7)$$

と定義する．

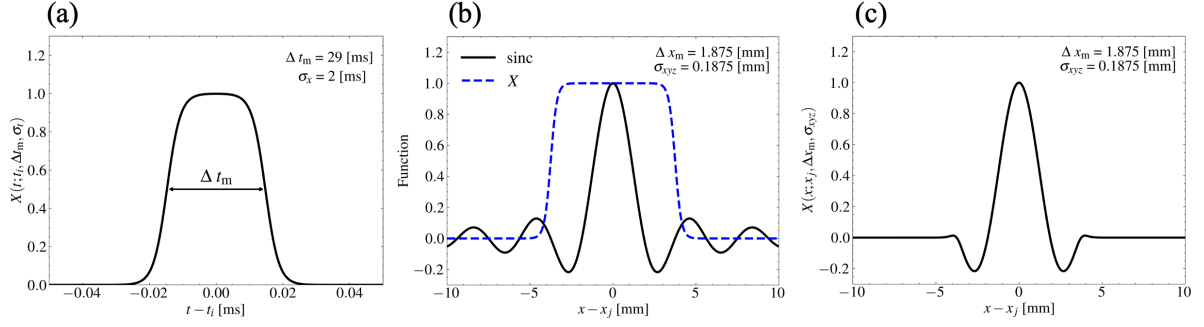


図1: Smoothing functions used in the observation operator  $\mathcal{T}^{\text{ave}}$  [1]. (a) The temporal smoothing function consisted of a box-like function with smoothed edges. The width was set to the temporal resolution of the 4D flow MRI data. (b) Spatial smoothing function - sinc function (continuous line) and smoothed truncation (dashed line). (c) Spatial smoothing function - final truncated form.

### 0.0.2 支配方程式

流体の支配方程式を、ナビエ・ストークス方程式と連続の式を用いて

$$\begin{aligned} \rho \partial_t \mathbf{v} + \rho \mathbf{v} \cdot \nabla \mathbf{v} + \nabla p - \mu \nabla^2 \mathbf{v} + \frac{1}{\rho} \mathbf{K}(\phi) \mathbf{v} &= 0 \quad \text{in } \Omega \times (0, T] \\ \nabla \cdot \mathbf{v} &= 0 \quad \text{in } \Omega \times (0, T] \end{aligned} \quad (8)$$

と記述する。

### 0.0.3 変分法

式 (8) を SUPG/PSPG 法により,

$$\begin{aligned} \mathcal{F}(\mathbf{v}, p, \mathbf{V}, \mathbf{w}, q, \lambda, \eta) &= \int_{\Omega} \left[ \rho \mathbf{w} \cdot \partial_t \mathbf{v} + \rho \mathbf{w} \cdot (\mathbf{v} \cdot \nabla \mathbf{v}) - p (\nabla \cdot \mathbf{w}) + \mu \nabla \mathbf{w} : \nabla \mathbf{v} + \mathbf{w} \cdot \mathbf{K} \mathbf{v} \right] d\Omega \\ &+ \int_{\Omega} q (\nabla \cdot \mathbf{v}) d\Omega + \sum_{e=1}^M \int_{\Omega_e} \left[ \rho \tau_e (\mathbf{v} \cdot \nabla \mathbf{w}) \cdot (\mathbf{v} \cdot \nabla \mathbf{v}) + \rho \tau_e (\mathbf{v} \cdot \nabla \mathbf{w}) \cdot \partial_t \mathbf{v} \right. \\ &+ \tau_e (\mathbf{v} \cdot \nabla \mathbf{w}) \cdot \nabla p + \tau_e \nabla q \cdot \partial_t \mathbf{v} + \tau_e \nabla q \cdot (\mathbf{v} \cdot \nabla \mathbf{v}) - \frac{\tau_e}{\rho} \nabla q \cdot \nabla p \left. \right] d\Omega \\ &- \int_{\Gamma_1} \left[ \lambda \cdot (\mathbf{v} - \mathbf{V}) + \eta \cdot (\mathbf{w} - \mathbf{0}) \right] d\Gamma \end{aligned} \quad (9)$$

と記述し、最適化における拘束条件とする。出口境界には traction-free を仮定した。煩雑を避けるため、以降の定式では SUPG/PSPG 項は省略する。目的関数・拘束条件を合わせた Lagrange 関数を

$$\mathcal{L}(\mathbf{v}, p, \mathbf{v}_0, \mathbf{V}, \mathbf{w}, q, \lambda, \eta) = \mathcal{J}(\mathbf{v}, \mathbf{v}_0, \mathbf{V}) - \int_T \mathcal{F}(\mathbf{v}, p, \mathbf{V}, \mathbf{w}, q, \lambda, \eta) dt \quad (10)$$

とし、制約なし最小化問題を

$$\min_{\mathbf{v}^0, \mathbf{V}} \mathcal{L} \quad (11)$$

と定義する。

式 (10) の時間方向の離散化を考える．はじめに，誤差関数におけるボクセル  $i$ ，計測点  $j$  での誤差を  $\mathbf{v}_e^{ij}$  と表す．誤差は各計測点の離散和であるため

$$\frac{\alpha}{2} \sum_{j=1}^{N_m} \sum_{i=1}^{M_m} \|\mathbf{v}_e^{ij}\|^2 \Delta x_m \Delta y_m \Delta z_m \Delta t_m \approx \frac{\alpha}{2} \int_T \sum_{i=1}^{M_m} \|\mathbf{v}_e^i\|^2 \Delta x_m \Delta y_m \Delta z_m dt \quad (12)$$

として時間方向の連続関数とする．ここで  $\mathbf{v}_e^i$  はボクセル  $i$  における，3 次スプラインによる補間関数である．次に，式 (10) を数値計算の時間刻み  $\Delta t$  で時間離散化すると

$$\mathcal{L} = \sum_{k=1}^N \mathcal{T}_k \Delta t - \sum_{k=0}^{N-1} \mathcal{F}_k \Delta t + \frac{\gamma}{2} \int_{\Omega} \|\partial_s \mathbf{v}^0\|^2 d\Omega \quad (13)$$

と表せる． $N$  は数値計算の総ステップ数である．ここで， $\mathcal{T}_k$  は，時間ステップ  $k$  ( $1 \leq k \leq N$ ) における初期条件の正則化項を除いた目的関数であり

$$\mathcal{T}_k = \frac{\alpha}{2} \sum_{i=1}^{M_m} \|\mathbf{v}_e^{ik}\|^2 \Delta x_m \Delta y_m \Delta z_m + \frac{\beta}{2} \int_{\Gamma_I} \left[ \left\| \frac{\mathbf{V}^{k+1} - \mathbf{V}^k}{\Delta t} \right\|^2 + \|\partial_s \mathbf{V}^k\|^2 \right] d\Gamma \quad (14)$$

と表す．また， $\mathcal{F}_k$  は時間ステップ  $k$  ( $0 \leq k \leq N-1$ ) における拘束条件であり

$$\begin{aligned} \mathcal{F}_k = & \int_{\Omega} \left[ \mathbf{w}^{k+1} \cdot \rho \frac{\mathbf{v}^{k+1} - \mathbf{v}^k}{\Delta t} + \mathbf{w}^{k+1} \cdot \rho \left( \frac{3\mathbf{v}^k - \mathbf{v}^{k-1}}{2} \right) \cdot \nabla \left( \frac{\mathbf{v}^k + \mathbf{v}^{k-1}}{2} \right) + p^{k+1} (\nabla \cdot \mathbf{w}^{k+1}) \right. \\ & - \mu \nabla \mathbf{w}^{k+1} : \nabla \left( \frac{\mathbf{v}^k + \mathbf{v}^{k-1}}{2} \right) + \mathbf{w}^{k+1} \cdot \frac{1}{\rho} \mathbf{K}(\phi) \left( \frac{\mathbf{v}^k + \mathbf{v}^{k-1}}{2} \right) + q^{k+1} (\nabla \cdot \mathbf{v}^{k+1}) \Big] d\Omega \\ & - \int_{\Gamma_I} \lambda^{k+1} \cdot (\mathbf{v}^{k+1} - \mathbf{V}^{k+1}) d\Gamma - \int_{\Gamma_I} \eta^{k+1} \cdot (\mathbf{w}^{k+1} - \mathbf{0}) d\Gamma = 0 \end{aligned} \quad (15)$$

と表す．ここで，時間微分項に対して 1 次オイラー法を用い，移流項，粘性項，Darcy 項には Crank-Nicolson 法を用いて離散化した．また，移流速度を 2 次精度 Adams-Bashforth 法により線形化した．

制御変数の感度導出にあたり，随伴変数法を用いる．主問題は， $\mathbf{w}$ ， $q$ ， $\lambda$  に関するガトー微分より，

$${}^t \left\langle \frac{\partial \mathcal{L}}{\partial \mathbf{w}}, \delta \mathbf{w} \right\rangle = \begin{pmatrix} \left\langle \frac{\partial \mathcal{L}}{\partial \mathbf{w}^1}, \delta \mathbf{w}^1 \right\rangle \\ \vdots \\ \left\langle \frac{\partial \mathcal{L}}{\partial \mathbf{w}^N}, \delta \mathbf{w}^N \right\rangle \end{pmatrix} = \mathbf{0}, \quad {}^t \left\langle \frac{\partial \mathcal{L}}{\partial q}, \delta q \right\rangle = \begin{pmatrix} \left\langle \frac{\partial \mathcal{L}}{\partial q^1}, \delta q^1 \right\rangle \\ \vdots \\ \left\langle \frac{\partial \mathcal{L}}{\partial q^N}, \delta q^N \right\rangle \end{pmatrix} = 0, \quad {}^t \left\langle \frac{\partial \mathcal{L}}{\partial \lambda}, \delta \lambda \right\rangle = \begin{pmatrix} \left\langle \frac{\partial \mathcal{L}}{\partial \lambda^1}, \delta \lambda^1 \right\rangle \\ \vdots \\ \left\langle \frac{\partial \mathcal{L}}{\partial \lambda^N}, \delta \lambda^N \right\rangle \end{pmatrix} = \mathbf{0} \quad (16)$$

と表され、時間ステップ  $k$  ( $1 \leq k \leq N$ ) において

$$\begin{aligned} \left\langle \frac{\partial \mathcal{L}}{\partial \mathbf{w}^k}, \delta \mathbf{w}^k \right\rangle &= \int_{\Omega} \left[ \delta \mathbf{w}^k \cdot \rho \frac{\mathbf{v}^k - \mathbf{v}^{k-1}}{\Delta t} + \delta \mathbf{w}^k \cdot \rho \left( \frac{3\mathbf{v}^k - \mathbf{v}^{k-1}}{2} \right) \cdot \nabla \left( \frac{\mathbf{v}^k + \mathbf{v}^{k-1}}{2} \right) \right. \\ &\quad \left. + p^k (\nabla \cdot \delta \mathbf{w}^k) - \mu \nabla \delta \mathbf{w}^k : \left( \frac{\mathbf{v}^k + \mathbf{v}^{k-1}}{2} \right) + \delta \mathbf{w}^k \cdot \frac{1}{\rho} \mathbf{K}(\phi) \left( \frac{\mathbf{v}^k + \mathbf{v}^{k-1}}{2} \right) \right] d\Omega \\ &\quad - \int_{\Gamma_1} \boldsymbol{\eta}^k \cdot \delta \mathbf{w}^k d\Gamma = 0 \end{aligned} \quad (17)$$

$$\left\langle \frac{\partial \mathcal{L}}{\partial q^k}, \delta q^k \right\rangle = \int_{\Omega} \delta q^k (\nabla \cdot \mathbf{v}^{k+1}) d\Omega = 0 \quad (18)$$

$$\left\langle \frac{\partial \mathcal{L}}{\partial \lambda^k}, \delta \lambda^k \right\rangle = \int_{\Gamma_1} \delta \lambda^k \cdot (\mathbf{v}^k - \mathbf{V}^k) d\Gamma = 0 \quad (19)$$

とそれぞれ記述できる。

次に、随伴問題は、 $\mathbf{v}$ ,  $p$ ,  $\boldsymbol{\eta}$  に関するガトー微分より

$${}^t \left\langle \frac{\partial \mathcal{L}}{\partial \mathbf{v}}, \delta \mathbf{v} \right\rangle = \begin{pmatrix} \left\langle \frac{\partial \mathcal{L}}{\partial \mathbf{v}^1}, \delta \mathbf{v}^1 \right\rangle \\ \vdots \\ \left\langle \frac{\partial \mathcal{L}}{\partial \mathbf{v}^N}, \delta \mathbf{v}^N \right\rangle \end{pmatrix} = \mathbf{0}, \quad {}^t \left\langle \frac{\partial \mathcal{L}}{\partial p}, \delta p \right\rangle = \begin{pmatrix} \left\langle \frac{\partial \mathcal{L}}{\partial p^1}, \delta p^1 \right\rangle \\ \vdots \\ \left\langle \frac{\partial \mathcal{L}}{\partial p^N}, \delta p^N \right\rangle \end{pmatrix} = \mathbf{0}, \quad {}^t \left\langle \frac{\partial \mathcal{L}}{\partial \boldsymbol{\eta}}, \delta \boldsymbol{\eta} \right\rangle = \begin{pmatrix} \left\langle \frac{\partial \mathcal{L}}{\partial \boldsymbol{\eta}^1}, \delta \boldsymbol{\eta}^1 \right\rangle \\ \vdots \\ \left\langle \frac{\partial \mathcal{L}}{\partial \boldsymbol{\eta}^N}, \delta \boldsymbol{\eta}^N \right\rangle \end{pmatrix} = \mathbf{0} \quad (20)$$

と表せる。時間ステップ  $k$  ( $1 \leq k \leq N$ ) では

$$\begin{aligned} \left\langle \frac{\partial \mathcal{L}}{\partial \mathbf{v}^k}, \delta \mathbf{v}^k \right\rangle &= \int_{\Omega} \left[ \rho \frac{\mathbf{w}^k - \mathbf{w}^{k+1}}{\Delta t} \cdot \delta \mathbf{v}^k + \frac{\rho}{4} \mathbf{w}^k \cdot (3\mathbf{v}^{k-1} - \mathbf{v}^{k-2}) \cdot \nabla \delta \mathbf{v}^k + \frac{3\rho}{4} \mathbf{w}^{k+1} \cdot \delta \mathbf{v}^k \cdot \nabla \mathbf{v}^{k+1} \right. \\ &\quad \left. + \frac{\rho}{4} \mathbf{w}^{k+1} \cdot (3\mathbf{v}^k - \mathbf{v}^{k-1}) \cdot \nabla \delta \mathbf{v}^k - \frac{\rho}{4} \mathbf{w}^{k+2} \cdot \delta \mathbf{v}^k \cdot \nabla \mathbf{v}^{k+1} - \frac{\rho}{4} \mathbf{w}^{k+2} \cdot \delta \mathbf{v}^k \cdot \nabla \mathbf{v}^k \right. \\ &\quad \left. - \frac{\mu}{2} (\nabla \mathbf{w}^k + \nabla \mathbf{w}^{k+1}) : \nabla \delta \mathbf{v}^k + \frac{1}{2\rho} (\mathbf{w}^k + \mathbf{w}^{k+1}) \cdot \mathbf{K}(\phi) \delta \mathbf{v}^k \right] d\Omega \\ &\quad + q^k (\nabla \cdot \delta \mathbf{v}^k) + \int_{\Gamma_1} \lambda^k \cdot \delta \mathbf{v}^k d\Gamma = \alpha \sum_{i=1}^{M_m} \mathbf{v}_e^{ik} \cdot \delta \mathbf{v}^k \Delta x_m \Delta y_m \Delta z_m \end{aligned} \quad (21)$$

$$\left\langle \frac{\partial \mathcal{L}}{\partial p^k}, \delta p^k \right\rangle = \int_{\Omega} \delta p^k (\nabla \cdot \mathbf{w}^k) d\Omega = 0 \quad (22)$$

$$\left\langle \frac{\partial \mathcal{L}}{\partial \boldsymbol{\eta}^k}, \delta \boldsymbol{\eta}^k \right\rangle = \int_{\Gamma_1} \delta \boldsymbol{\eta}^k \cdot \mathbf{w}^k d\Omega = 0 \quad (23)$$

とそれぞれ書き下せる (Appendix A)。ここで、式 (21) に関して

$$\begin{cases} \mathbf{v}^{k-2} = \mathbf{v}^0 & \text{for } k = 1 \\ \mathbf{w}^{k+2} = \mathbf{0} & \text{for } k = N - 1 \\ \mathbf{w}^{k+1} = \mathbf{w}^{k+2} = \mathbf{0} & \text{for } k = N \end{cases} \quad (24)$$

であり、 $k = N$  の場合のみ  $\mathbf{w}^{k+1}$  もしくは  $\mathbf{w}^{k+2}$  の時間ステップに依存せず独立に連立方程式が解けることから、随伴方程式は時間逆発展方程式となる。最後に、主問題、随伴問題より得た変数から、初期速度と、時間

ステップ  $k$  ( $1 \leq k \leq N$ ) における入口境界速度の感度

$$\begin{aligned} \left\langle \frac{\partial \mathcal{L}}{\partial \mathbf{v}^0}, \delta \mathbf{v}^0 \right\rangle = & \gamma \int_{\Omega} (\mathbf{v}^0 \cdot \delta \mathbf{v}^0 + \partial_s \mathbf{v}^0 \cdot \delta \mathbf{v}^0) d\Omega + \int_{\Omega} \left( \rho \frac{\mathbf{w}^1}{\Delta t} \cdot \delta \mathbf{v}^0 - \frac{3\rho}{4} \mathbf{w}^1 \cdot \delta \mathbf{v}^0 \cdot \nabla \mathbf{v}^1 - \frac{\rho}{2} \mathbf{w}^1 \cdot \mathbf{v}^0 \cdot \nabla \delta \mathbf{v}^k \right. \\ & \left. + \frac{\rho}{4} \mathbf{w}^2 \cdot \delta \mathbf{v}^0 \cdot \nabla \mathbf{v}^1 + \frac{\rho}{4} \mathbf{w}^2 \cdot \delta \mathbf{v}^0 \cdot \nabla \mathbf{v}^0 + \frac{\mu}{2} \nabla \mathbf{w}^1 : \nabla \delta \mathbf{v}^0 - \frac{1}{2\rho} \mathbf{w}^1 \cdot \mathbf{K}(\phi) \delta \mathbf{v}^0 \right) d\Omega \end{aligned} \quad (25)$$

$$\left\langle \frac{\partial \mathcal{L}}{\partial \mathbf{V}^k}, \tilde{\mathbf{V}}^k \right\rangle = \beta \int_{\Gamma_1} (\mathbf{V}^k \cdot \tilde{\mathbf{V}}^k + \partial_s \mathbf{V}^k \cdot \tilde{\mathbf{V}}^k + \dot{\mathbf{V}}^k \cdot \tilde{\mathbf{V}}^k + \partial_s \dot{\mathbf{V}}^k \cdot \tilde{\mathbf{V}}^k) d\Gamma - \int_{\Gamma_1} \lambda \cdot \tilde{\mathbf{V}}^k d\Gamma \quad (26)$$

を導出し、これらを用いて、制御変数を

$$\mathbf{v}_{n+1}^0 = \mathbf{v}_n^0 - \tau_1 \left\langle \frac{\partial \mathcal{L}}{\partial \mathbf{v}^0}, \delta \mathbf{v}^0 \right\rangle \quad (27)$$

$$\mathbf{V}_{n+1}^k = \mathbf{V}_n^k - \tau_2 \left\langle \frac{\partial \mathcal{L}}{\partial \mathbf{V}^k}, \delta \mathbf{v}^k \right\rangle \quad (28)$$

と最急降下法に基づき逐次更新する． $n$  は最適化ステップ数を表し， $\tau_1$  と  $\tau_2$  は Armijo 条件 [2] より決定したそれぞれの更新幅である．

空間離散化については，定常流の場合と同様に有限要素法を用いた．

## 参考文献

- [1] J. Töger, M. J. Zahr, N. Aristokleous, K. M. Bloch, M. Carlsson, and P.-O. Persson. Blood flow imaging by optimal matching of computational fluid dynamics to 4D-flow data. *Magnetic Resonance in Medicine*, 84 (4) (2020), pp. 2231–2245. doi: 10.1002/mrm.28269.
- [2] L. Armijo. Minimization of functions having Lipschitz continuous first partial derivatives. *Pacific Journal of Mathematics*, 16 (1) (1966), pp. 1–3. doi: 10.2140/pjm.1966.16.1.

## Appendix A $\mathbf{v}$ に対するガトー微分

ラグランジュ関数の  $\mathbf{v}$  でのガトー微分について、式 (20) のベクトル  $\mathbf{k}$  成分は、

$$\left\langle \frac{\partial \mathcal{L}}{\partial \mathbf{v}^k}, \delta \mathbf{v}^k \right\rangle = \begin{cases} \left\langle \frac{\partial \mathcal{J}}{\partial \mathbf{v}^k}, \delta \mathbf{v}^k \right\rangle + \left\langle \frac{\partial \mathcal{F}_{k-1}}{\partial \mathbf{v}^k}, \delta \mathbf{v}^k \right\rangle + \left\langle \frac{\partial \mathcal{F}_k}{\partial \mathbf{v}^k}, \delta \mathbf{v}^k \right\rangle + \left\langle \frac{\partial \mathcal{F}_{k+1}}{\partial \mathbf{v}^k}, \delta \mathbf{v}^k \right\rangle & \text{for } 1 \leq k < N-1 \\ \left\langle \frac{\partial \mathcal{J}}{\partial \mathbf{v}^k}, \delta \mathbf{v}^k \right\rangle + \left\langle \frac{\partial \mathcal{F}_{k-1}}{\partial \mathbf{v}^k}, \delta \mathbf{v}^k \right\rangle + \left\langle \frac{\partial \mathcal{F}_k}{\partial \mathbf{v}^k}, \delta \mathbf{v}^k \right\rangle & \text{for } k = N-1 \\ \left\langle \frac{\partial \mathcal{J}}{\partial \mathbf{v}^k}, \delta \mathbf{v}^k \right\rangle + \left\langle \frac{\partial \mathcal{F}_{k-1}}{\partial \mathbf{v}^k}, \delta \mathbf{v}^k \right\rangle & \text{for } k = N \end{cases} \quad (29)$$

である。式 (29) の右辺はそれぞれ

$$\left\langle \frac{\partial \mathcal{J}}{\partial \mathbf{v}^k}, \delta \mathbf{v}^k \right\rangle = \alpha \sum_{j=1}^{M_m} \left( \mathcal{T}_j^{\text{ave}} \mathbf{v}(\mathbf{x}, t_k) - \mathbf{v}_m^{\text{spline}}(\mathbf{x}_j, t_k) \right) \cdot \delta \mathbf{v}^k \Delta x_m \Delta y_m \Delta z_m \quad (30)$$

$$\begin{aligned} \left\langle \frac{\partial \mathcal{F}_{k-1}}{\partial \mathbf{v}^k}, \delta \mathbf{v}^k \right\rangle &= \int_{\Omega} \left( \mathbf{w}^k \cdot \rho \frac{\delta \mathbf{v}^k}{\Delta t} + \frac{\rho}{4} \mathbf{w}^k \cdot \left( 3\mathbf{v}^{k-1} - \mathbf{v}^{k-2} \right) \cdot \nabla \delta \mathbf{v}^k - \frac{\mu}{2} \nabla \mathbf{w}^k : \nabla \delta \mathbf{v}^k \right. \\ &\quad \left. + \frac{1}{2\rho} \mathbf{w}^k \cdot \mathbf{K}(\phi) \delta \mathbf{v}^k + q^k (\nabla \cdot \delta \mathbf{v}^k) \right) d\Omega \end{aligned} \quad (31)$$

$$\begin{aligned} \left\langle \frac{\partial \mathcal{F}_k}{\partial \mathbf{v}^k}, \delta \mathbf{v}^k \right\rangle &= \int_{\Omega} \left( -\mathbf{w}^{k+1} \cdot \rho \frac{\delta \mathbf{v}^k}{\Delta t} + \frac{3\rho}{4} \mathbf{w}^{k+1} \cdot \delta \mathbf{v}^k \cdot \nabla \mathbf{v}^{k+1} + \frac{\rho}{4} \mathbf{w}^{k+1} \cdot \left( 3\mathbf{v}^k - \mathbf{v}^{k-1} \right) \cdot \nabla \delta \mathbf{v}^k \right. \\ &\quad \left. - \frac{\mu}{2} \nabla \mathbf{w}^{k+1} : \nabla \delta \mathbf{v}^k + \frac{1}{2\rho} \mathbf{w}^{k+1} \cdot \mathbf{K}(\phi) \delta \mathbf{v}^k \right) d\Omega \end{aligned} \quad (32)$$

$$\left\langle \frac{\partial \mathcal{F}_{k+1}}{\partial \mathbf{v}^k}, \delta \mathbf{v}^k \right\rangle = \int_{\Omega} \left( -\frac{\rho}{4} \mathbf{w}^{k+2} \cdot \delta \mathbf{v}^k \cdot \nabla \mathbf{v}^{k+1} - \frac{\rho}{4} \mathbf{w}^{k+2} \cdot \delta \mathbf{v}^k \cdot \nabla \mathbf{v}^k \right) d\Omega \quad (33)$$

と表せる。